

Задача open shop с маршрутизацией и тоннелями: вызовы и перспективы

Илья Черных

Институт математики им С.Л. Соболева

Семинар “Модели и алгоритмы
для задач составления расписаний”
26.10.2024

*Исследование выполнено за счёт гранта
Российского научного фонда №22-71-10015*

Напоминание: Задача open shop с маршрутизацией

Неформальное введение

Open Shop ($Om || C_{\max}$)...

Машины M_1 ... M_m

Работы J_1 ... J_n

Напоминание: Задача open shop с маршрутизацией

Неформальное введение

Open Shop ($Om || C_{\max}$)...

Машины M_1 ... M_m

Работы J_1 ... J_n



Напоминание: Задача open shop с маршрутизацией

Неформальное введение

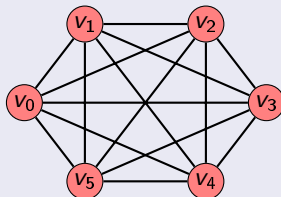
Open Shop ($Om || C_{\max}$)...

Машины M_1 ... M_m

Работы J_1 ... J_n



Задача коммивояжера...



Напоминание: Задача open shop с маршрутизацией

Неформальное введение

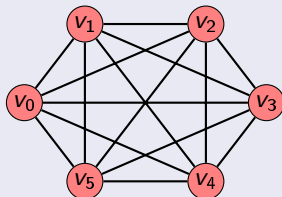
Open Shop ($Om || C_{\max}$)...

Машины M_1 ... M_m

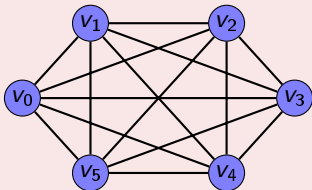
Работы J_1 ... J_n



Задача коммивояжера...



... их комбинация



Напоминание: Задача open shop с маршрутизацией

Неформальное введение

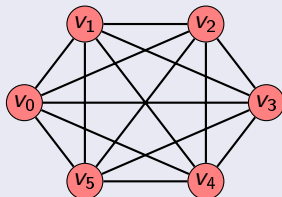
Open Shop ($Om || C_{\max}$)...

Машины M_1 ... M_m

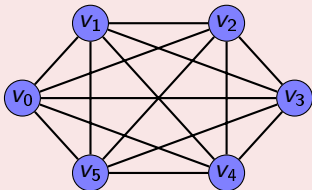
Работы J_1 ... J_n



Задача коммивояжера...



... их комбинация



$\{J_1, \dots, J_n\}$

Напоминание: Задача open shop с маршрутизацией

Неформальное введение

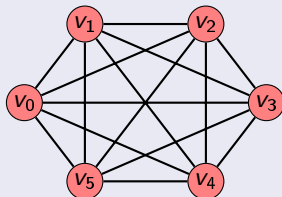
Open Shop ($Om || C_{\max}$)...

Машины M_1 ... M_m

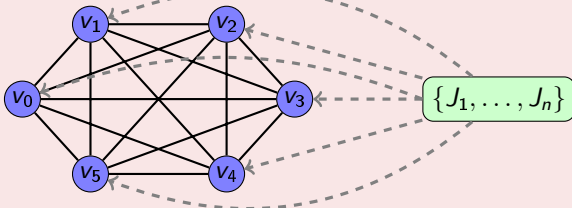
Работы J_1 ... J_n



Задача коммивояжера...



... их комбинация



Напоминание: Задача open shop с маршрутизацией

Неформальное введение

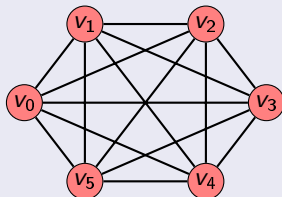
Open Shop ($Om || C_{\max}$)...

Машины M_1 ... M_m

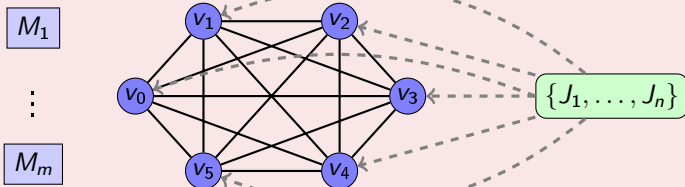
Работы J_1 ... J_n



Задача коммивояжера...



... их комбинация



Напоминание: Задача open shop с маршрутизацией

Неформальное введение

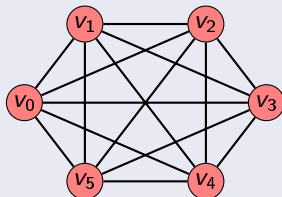
Open Shop ($Om || C_{\max}$)...

Машины M_1 ... M_m

Работы J_1 ... J_n



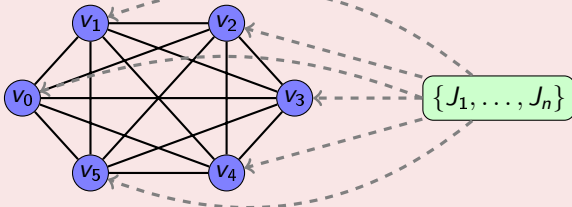
Задача коммивояжера...



... их комбинация



⋮



Напоминание: Задача open shop с маршрутизацией

Неформальное введение

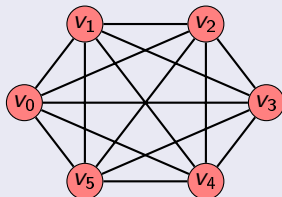
Open Shop ($Om || C_{\max}$)...

Машины M_1 ... M_m

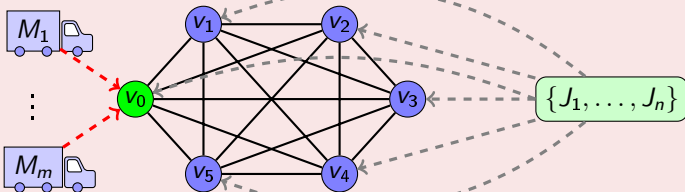
Работы J_1 ... J_n



Задача коммивояжера...



... их комбинация



Напоминание: Задача open shop с маршрутизацией

Неформальное введение

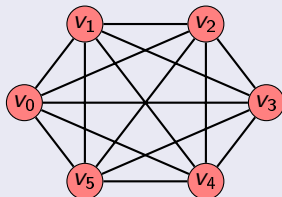
Open Shop ($Om || C_{\max}$)...

Машины M_1 ... M_m

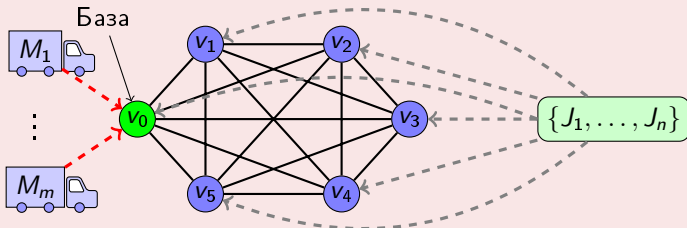
Работы J_1 ... J_n



Задача коммивояжера...



... их комбинация



- $\ell_i = \sum_{j=1}^n p_{ji}$ — нагрузка M_i , $d_j = \sum_{i=1}^m p_{ji}$ — длина J_j ,
- $\ell_{\max} = \max \ell_i$ — максимальная нагрузка,
- $d_{\max}(v) = \max_{J_j \in \mathcal{J}(v)} d_j$ — максимальная длина работы из v ,
- T^* — длина кратчайшего обхода графа G машиной M_i

- $\ell_i = \sum_{j=1}^n p_{ji}$ — нагрузка M_i , $d_j = \sum_{i=1}^m p_{ji}$ — длина J_j ,
- $\ell_{\max} = \max \ell_i$ — максимальная нагрузка,
- $d_{\max}(v) = \max_{J_j \in \mathcal{J}(v)} d_j$ — максимальная длина работы из v ,
- T^* — длина кратчайшего обхода графа G машиной M_i

Стандартная нижняя оценка для $ROM || R_{\max}$

$$\bar{R} = \max \left\{ \ell_{\max} + T^*, \max_{v \in V} \left(d_{\max}(v) + 2 \text{dist}(v_0, v) \right) \right\}$$

Сложность

- $RO2||R_{\max}$ NP-трудна в сильном смысле
- $RO2|G = K_2|R_{\max}$ NP-трудна, существует FPTAS
- $RO2|G = K_2, j\text{-}prpt|R_{\max}$ NP-трудна

Сложность

- $RO2||R_{\max}$ NP-трудна в сильном смысле
- $RO2|G = K_2|R_{\max}$ NP-трудна, существует FPTAS
- $RO2|G = K_2, j\text{-}prpt|R_{\max}$ NP-трудна

Локализация оптимумов

Структура G	Оценка верхней границы интервала
$G = K_2$	$6/5\bar{R}$
$G = K_3$	$6/5\bar{R}$
$G = tree$	$6/5\bar{R}$
$G = C_4$	$5/4\bar{R}$
G произвольный	$\leq 4/3\bar{R}$

Сложность

- $RO2||R_{\max}$ NP-трудна в сильном смысле
- $RO2|G = K_2|R_{\max}$ NP-трудна, существует FPTAS
- $RO2|G = K_2, j\text{-}prpt|R_{\max}$ NP-трудна

Локализация оптимумов

Структура G	Оценка верхней границы интервала
$G = K_2$	$6/5\bar{R}$
$G = K_3$	$6/5\bar{R}$
$G = tree$	$6/5\bar{R}$
$G = C_4$	$5/4\bar{R}$
G произвольный	$\leq 4/3\bar{R}$

Приближенные алгоритмы

- 7/4-приближенный [Averbakh, Berman, Ch 2006]
- 13/8-приближенный [Ch, Kononov, Sevastyanov 2013]
- 4/3-приближенный [Ch, Kononov, Sevastyanov 2013]

Постановка

- Дан рёберно-взвешенный полный граф $G = \langle V; E \rangle$.
- Требуется: найти ГЦ минимального веса w^* .

Постановка

- Дан рёберно-взвешенный полный граф $G = \langle V; E \rangle$.
- Требуется: найти ГЦ минимального веса w^* .

Сложность TSP

- *NP*-трудна в сильном смысле.
- В метрическом случае тоже.

Постановка

- Дан рёберно-взвешенный полный граф $G = \langle V; E \rangle$.
- Требуется: найти ГЦ минимального веса w^* .

Сложность TSP

- *NP*-трудна в сильном смысле.
- В метрическом случае тоже.

Алгоритм Кристофидеса-Сердюкова для метрической TSP [1976]

- 1 Найти в G остов T минимального веса
- 2 Пусть $O = \{v \in V \mid \deg_T(v) \text{ нечётна}\}$. Построить на O паросочетание M наименьшего веса
- 3 Найти эйлеров цикл E в $T \cup M$
- 4 Искомый гамильтонов цикл σ обходит вершины в порядке, в котором они появляются в E первый раз

Постановка

- Дан рёберно-взвешенный полный граф $G = \langle V; E \rangle$.
- Требуется: найти ГЦ минимального веса w^* .

Сложность TSP

- NP -трудна в сильном смысле.
- В метрическом случае тоже.

Алгоритм Кристофидеса-Сердюкова для метрической TSP [1976]

- 1 Найти в G остов T минимального веса
- 2 Пусть $O = \{v \in V \mid \deg_T(v) \text{ нечётна}\}$. Построить на O паросочетание M наименьшего веса
- 3 Найти эйлеров цикл E в $T \cup M$
- 4 Искомый гамильтонов цикл σ обходит вершины в порядке, в котором они появляются в E первый раз

Теорема

Алгоритм Кристофидеса-Сердюкова является $3/2$ -приближённым для метрической TSP.

Постановка

- Дан рёберно-взвешенный полный граф $G = \langle V; E \rangle$.
- Требуется: найти ГЦ минимального веса w^* .

Сложность TSP

- *NP*-трудна в сильном смысле.
- В метрическом случае тоже.

Алгоритм Кристофидеса-Сердюкова для метрической TSP [1976]

- 1 Найти в G остов T минимального веса ($w(T) \leq w^*$).
- 2 Пусть $O = \{v \in V \mid \deg_T(v) \text{ нечётна}\}$. Построить на O паросочетание M наименьшего веса ($w(M) \leq \frac{1}{2}w^*$).
- 3 Найти эйлеров цикл E в $T \cup M$ ($w(E) = w(T) + w(M) \leq \frac{3}{2}w^*$).
- 4 Искомый гамильтонов цикл σ обходит вершины в порядке, в котором они появляются в E первый раз ($w(\sigma) \leq w(E) \leq \frac{3}{2}w^*$).

Теорема

Алгоритм Кристофидеса-Сердюкова является $3/2$ -приближённым для метрической TSP.

Вступление: задача сельского почтальона (*RPP*)

Дано:

- Взвешенный связный граф $G = \langle V; E \rangle$, $w(e)$ — вес ребра $e \in E$,
- $N \subseteq E$ — множество **необходимых** рёбер.

Требуется:

Найти замкнутый маршрут минимального веса и содержащий все рёбра из N .

Вступление: задача сельского почтальона (*RPP*)

Дано:

- Взвешенный связный граф $G = \langle V; E \rangle$, $w(e)$ — вес ребра $e \in E$,
- $N \subseteq E$ — множество **необходимых** рёбер.

Требуется:

Найти замкнутый маршрут минимального веса и содержащий все рёбра из N .

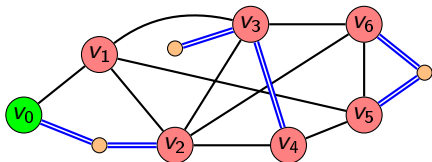
Замечания

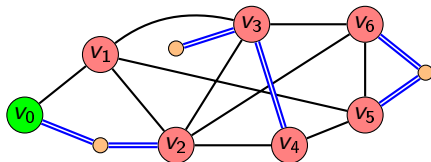
- 1 В случае $N = E$ задача называется задачей китайского почтальона и является полиномиально разрешимой.
- 2 В общем случае задача *RPP* *NP*-трудна в сильном смысле.
- 3 Можно всегда предполагать, что веса рёбер в *RPP* удовлетворяют неравенству треугольника.

3/2-приближённый алгоритм для RPP

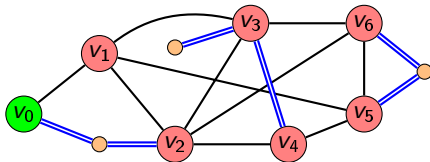
[Frederickson 1979]

- 1 Рассмотрим вспомогательный полный граф G' , вершинами которого являются компоненты связности в графе $G(N)$, а расстояния между вершинами определяются длинами кратчайших цепей, соединяющих эти компоненты в G .
- 2 Найти в G' остовное дерево T' минимального веса. Построить граф $G'' = T' \cup N$.
- 3 Пусть O — множество вершин нечётной степени в G'' . Построим на них паросочетание минимального веса M .
- 4 Искомый маршрут — эйлеров обход графа $G'' \cup M$.

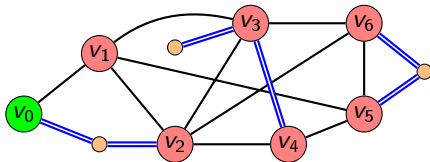




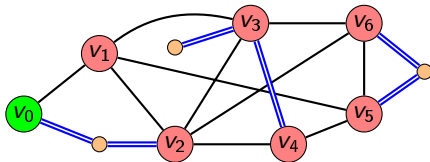
- v_0 — база.



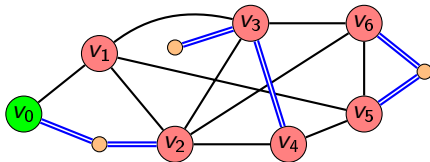
- v_0 — база.
- Некоторые вершины (база и красные) содержат работы (возможно, несколько работ в вершине).



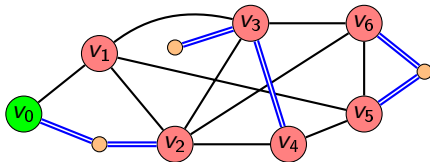
- v_0 — база.
- Некоторые вершины (база и красные) содержат работы (возможно, несколько работ в вершине).
- Некоторые рёбра (чёрные) используются для перемещения.



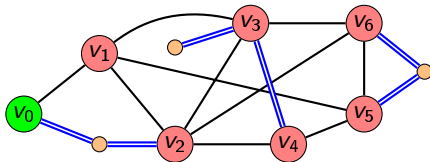
- v_0 — база.
- Некоторые вершины (база и красные) содержат работы (возможно, несколько работ в вершине).
- Некоторые рёбра (чёрные) используются для перемещения.
- Остальные рёбра (двойные синие) — **тоннели**:



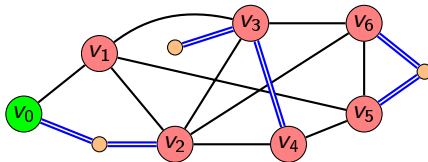
- v_0 — база.
- Некоторые вершины (база и красные) содержат работы (возможно, несколько работ в вершине).
- Некоторые рёбра (чёрные) используются для перемещения.
- Остальные рёбра (двойные синие) — **тоннели**:
 - Могут быть использованы для перемещения (имеют длину).



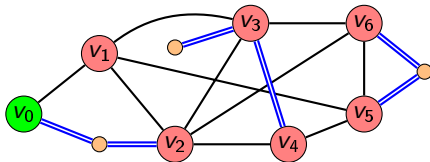
- v_0 — база.
- Некоторые вершины (база и красные) содержат работы (возможно, несколько работ в вершине).
- Некоторые рёбра (чёрные) используются для перемещения.
- Остальные рёбра (двойные синие) — **тоннели**:
 - Могут быть использованы для перемещения (имеют длину).
 - Содержат по одной работе (длительности операций!).



- v_0 — база.
- Некоторые вершины (база и красные) содержат работы (возможно, несколько работ в вершине).
- Некоторые рёбра (чёрные) используются для перемещения.
- Остальные рёбра (двойные синие) — **тоннели**:
 - Могут быть использованы для перемещения (имеют длину).
 - Содержат по одной работе (длительности операций!).
 - Любое количество машин могут перемещаться по тоннелю одновременно, но две машины не могут выполнять операции одновременно в одном тоннеле.



- v_0 — база.
- Некоторые вершины (база и красные) содержат работы (возможно, несколько работ в вершине).
- Некоторые рёбра (чёрные) используются для перемещения.
- Остальные рёбра (двойные синие) — **туннели**:
 - Могут быть использованы для перемещения (имеют длину).
 - Содержат по одной работе (длительности операций!).
 - Любое количество машин могут перемещаться по туннелю одновременно, но две машины не могут выполнять операции одновременно в одном туннеле.
 - Машина выполняет операцию в туннеле в процессе перемещения.



- v_0 — база.
- Некоторые вершины (база и красные) содержат работы (возможно, несколько работ в вершине).
- Некоторые рёбра (чёрные) используются для перемещения.
- Остальные рёбра (двойные синие) — **туннели**:
 - Могут быть использованы для перемещения (имеют длину).
 - Содержат по одной работе (длительности операций!).
 - Любое количество машин могут перемещаться по туннелю одновременно, но две машины не могут выполнять операции одновременно в одном туннеле.
 - Машина выполняет операцию в туннеле в процессе перемещения.
- Требуется выполнить все работы и вернуться на базу ASAP.

Связь между задачами $RO2||R_{\max}$ и $\overline{\overline{RO2}}||R_{\max}$

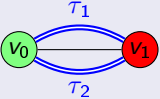
- 1 $\overline{\overline{RO2}}||R_{\max}$ — обобщение задачи $RO2||R_{\max}$.

Связь между задачами $RO2||R_{\max}$ и $\overline{RO2}||R_{\max}$

- 1 $\overline{RO2}||R_{\max}$ — обобщение задачи $RO2||R_{\max}$.
- 2 Сведение с сохранением нижней оценки:

Теорема

Любой пример задачи $RO2||R_{\max}$ можно свести к примеру задачи $\overline{RO2}|G = \mathcal{P} + |R_{\max}$ с сохранением стандартной нижней оценки, где

структура $\mathcal{P}+$ имеет вид  с одной работой в v_0 и не

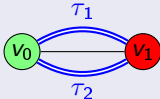
более тремя в v_1 .

Связь между задачами $RO2||R_{\max}$ и $\overline{RO2}||R_{\max}$

- 1 $\overline{RO2}||R_{\max}$ — обобщение задачи $RO2||R_{\max}$.
- 2 Сведение с сохранением нижней оценки:

Теорема

Любой пример задачи $RO2||R_{\max}$ можно свести к примеру задачи $\overline{RO2}|G = \mathcal{P} + |R_{\max}$ с сохранением стандартной нижней оценки, где

структура $\mathcal{P}+$ имеет вид  с одной работой в v_0 и не

более тремя в v_1 .

Локализация оптимумов для $RO2||R_{\max}$

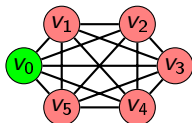
Структура G	Оценка верхней границы интервала
$G = K_2$	$6/5\bar{R}$
$G = K_3$	$6/5\bar{R}$
$G = tree$	$6/5\bar{R}$
$G = C_4$	$5/4\bar{R}$
G произвольный	$\leq 4/3\bar{R}$

Стандартная нижняя оценка для $ROM || R_{\max}$

$$\bar{R} = \max \left\{ \ell_{\max} + T^*, \max_{v \in V} \left(d_{\max}(v) + 2\text{dist}(v_0, v) \right) \right\}$$

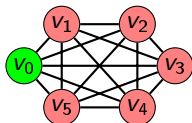
Стандартная нижняя оценка для $ROM || R_{\max}$

$$\bar{R} = \max \left\{ \ell_{\max} + T^*, \max_{v \in V} \left(d_{\max}(v) + 2\text{dist}(v_0, v) \right) \right\}$$



Стандартная нижняя оценка для $ROM || R_{\max}$

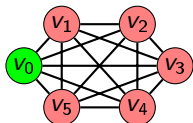
$$\bar{R} = \max \left\{ \ell_{\max} + T^*, \max_{v \in V} \left(d_{\max}(v) + 2 \text{dist}(v_0, v) \right) \right\}$$



Задача
комивояжера

Стандартная нижняя оценка для $ROM || R_{\max}$

$$\bar{R} = \max \left\{ \ell_{\max} + T^*, \max_{v \in V} \left(d_{\max}(v) + 2 \text{dist}(v_0, v) \right) \right\}$$

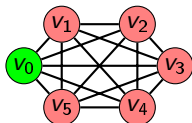


Задача
комивояжера

T^* — длина
кратчайшего обхода
в TSP.

Стандартная нижняя оценка для $ROM || R_{\max}$

$$\bar{R} = \max \left\{ \ell_{\max} + T_{TSP}^*, \max_{v \in V} \left(d_{\max}(v) + 2 \text{dist}(v_0, v) \right) \right\}$$

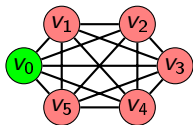


Задача
комивояжера

T_{TSP}^* — длина
кратчайшего обхода
в TSP.

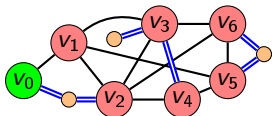
Стандартная нижняя оценка для $ROm || R_{\max}$

$$\bar{R} = \max \left\{ \ell_{\max} + T_{TSP}^*, \max_{v \in V} \left(d_{\max}(v) + 2 \text{dist}(v_0, v) \right) \right\}$$



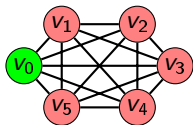
Задача
комивояжера

T_{TSP}^* — длина
кратчайшего обхода
в TSP.



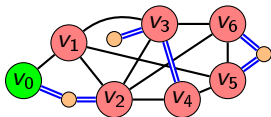
Стандартная нижняя оценка для $ROm || R_{\max}$

$$\bar{R} = \max \left\{ \ell_{\max} + T_{TSP}^*, \max_{v \in V} \left(d_{\max}(v) + 2 \text{dist}(v_0, v) \right) \right\}$$



Задача
комивояжера

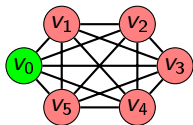
T_{TSP}^* — длина
кратчайшего обхода
в TSP.



Задача
деревенского
почтальона

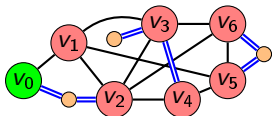
Стандартная нижняя оценка для $ROm || R_{\max}$

$$\bar{R} = \max \left\{ \ell_{\max} + T_{TSP}^*, \max_{v \in V} \left(d_{\max}(v) + 2 \text{dist}(v_0, v) \right) \right\}$$



Задача
комивояжера

T_{TSP}^* — длина
кратчайшего обхода
в TSP.



Задача
деревенского
почтальона

T_{RPP}^* — длина
кратчайшего обхода
в RPP.

Обозначения $\overline{R}Om || R_{\max}$

- $\mathcal{T} \subseteq E$ — множество туннелей, T_{RPP}^* — оптимум RPP,
- $\forall \tau = [v, u] \in \mathcal{T}$:
 - $|\tau| = w(\tau)$ — время перемещения по τ ,
 - $j(\tau)$ — работа, расположенная в τ ,
 - $\text{dist}(v_0, \tau) = \min\{\text{dist}(v_0, v), \text{dist}(v_0, u)\}$.

Обозначения $\overline{\overline{R}}_{Om} || R_{\max}$

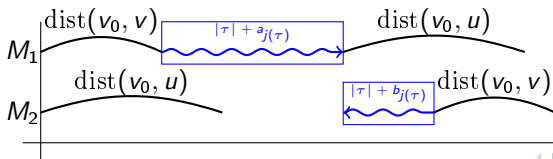
- $\mathcal{T} \subseteq E$ — множество туннелей, T_{RPP}^* — оптимум RPP,
- $\forall \tau = [v, u] \in \mathcal{T}$:
 - $|\tau| = w(\tau)$ — время перемещения по τ ,
 - $j(\tau)$ — работа, расположенная в τ ,
 - $\text{dist}(v_0, \tau) = \min\{\text{dist}(v_0, v), \text{dist}(v_0, u)\}$.

$$\overline{\overline{R}} = \max \left\{ \ell_{\max} + T_{RPP}^*, \max_{v \in V} (d_{\max}(v) + 2\text{dist}(v_0, v)), \right. \\ \left. \max_{\tau \in \mathcal{T}} (d_{j(\tau)} + 2|\tau| + 2\text{dist}(v_0, \tau)) \right\}.$$

Обозначения $\overline{R} \text{Om} || R_{\max}$

- $\mathcal{T} \subseteq E$ — множество туннелей, T_{RPP}^* — оптимум RPP,
- $\forall \tau = [v, u] \in \mathcal{T}$:
 - $|\tau| = w(\tau)$ — время перемещения по τ ,
 - $j(\tau)$ — работа, расположенная в τ ,
 - $\text{dist}(v_0, \tau) = \min\{\text{dist}(v_0, v), \text{dist}(v_0, u)\}$.

$$\overline{R} = \max \left\{ \ell_{\max} + T_{RPP}^*, \max_{v \in V} (d_{\max}(v) + 2\text{dist}(v_0, v)), \max_{\tau \in \mathcal{T}} (d_{j(\tau)} + 2|\tau| + 2\text{dist}(v_0, \tau)) \right\}.$$

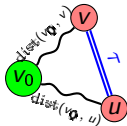
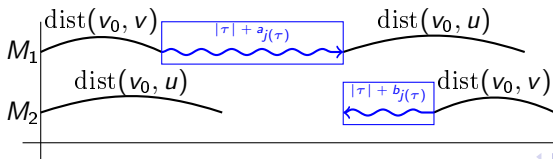


Стандартная нижняя оценка для задачи с туннелями

Обозначения $\overline{\overline{R}} \text{Om} || R_{\max}$

- $\mathcal{T} \subseteq E$ — множество туннелей, T_{RPP}^* — оптимум RPP,
- $\forall \tau = [v, u] \in \mathcal{T}$:
 - $|\tau| = w(\tau)$ — время перемещения по τ ,
 - $j(\tau)$ — работа, расположенная в τ ,
 - $\text{dist}(v_0, \tau) = \min\{\text{dist}(v_0, v), \text{dist}(v_0, u)\}$.

$$\overline{\overline{R}} = \max \left\{ \ell_{\max} + T_{RPP}^*, \max_{v \in V} (d_{\max}(v) + 2\text{dist}(v_0, v)), \right. \\ \left. \max_{\tau \in \mathcal{T}} (d_{j(\tau)} + 2|\tau| + 2\text{dist}(v_0, \tau)) \right\}.$$

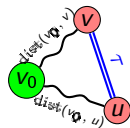
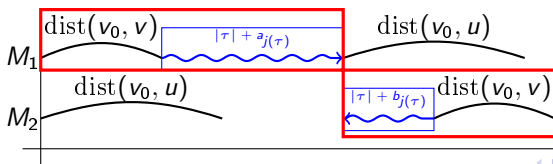


Стандартная нижняя оценка для задачи с туннелями

Обозначения $\overline{\overline{R}}_{Om} || R_{\max}$

- $\mathcal{T} \subseteq E$ — множество туннелей, T_{RPP}^* — оптимум RPP,
- $\forall \tau = [v, u] \in \mathcal{T}$:
 - $|\tau| = w(\tau)$ — время перемещения по τ ,
 - $j(\tau)$ — работа, расположенная в τ ,
 - $\text{dist}(v_0, \tau) = \min\{\text{dist}(v_0, v), \text{dist}(v_0, u)\}$.

$$\overline{\overline{R}} = \max \left\{ \ell_{\max} + T_{RPP}^*, \max_{v \in V} (d_{\max}(v) + 2\text{dist}(v_0, v)), \right. \\ \left. \max_{\tau \in \mathcal{T}} (d_{j(\tau)} + 2|\tau| + 2\text{dist}(v_0, \tau)) \right\}.$$



Теорема 1

Для задачи $\overline{\overline{RO2}}||R_{\max}$ существует 2-приближённый алгоритм.

Теорема 1

Для задачи $\overline{RO2}||R_{\max}$ существует 2-приближённый алгоритм.

Идея алгоритма

- 1 Найти $\frac{3}{2}$ -приближённое решение для задачи деревенского почтальона. Занумеровать работы в соответствии с этим решением.
- 2 Машина M_1 выполняет работы в порядке этой нумерации, а M_2 в обратном порядке.
- 3 В случае конфликта рассмотреть два возможных способа его разрешения, выбрать лучший.

Алгоритм A в деталях

- 1 Пусть σ — приближённое решение задачи RPP алгоритмом Фредериксона. Обозначим через D некоторый порядок работ, согласованный с σ , а через D^{-1} — противоположный порядок.
- 2 Строим расписание S , в котором машина M_1 выполняет работы без простоев в порядке D , а машина M_2 — в порядке D^{-1} . Если S является допустимым — выводим его и останавливаем алгоритм. Иначе переходим на следующий шаг.
- 3 Назовём **конфликтной** работу, выполнение которой в S нарушает допустимость. С учётом выбора порядков D и D^{-1} такая работа единственная, обозначим её через J_c .
- 4 Построим два допустимых расписания:
 - S_1 : машина M_1 выполняет операции в точности как в S , машина M_2 выполняет в порядке D^{-1} , но простаивает перед началом операции работы J_c до окончания обработки её машиной M_1 . Далее продолжает без простоев.
 - S_2 : машина M_2 выполняет операции в точности как в S , машина M_1 выполняет в порядке D , но простаивает перед началом операции работы J_c до окончания обработки её машиной M_2 . Далее продолжает без простоев.
- 5 Выводим лучшее из двух расписаний S_1 и S_2 .

Лемма

Пусть S_A — расписание, построенное алгоритмом A . Тогда

$$R_{\max}(S_A) \leq \frac{3}{2} T_{RPP}^* + l_{\max} + \begin{cases} 0, & \text{если конфликта не было,} \\ \frac{d_c}{2}, & \text{если } J_c \text{ находится в вершине } v, \\ \frac{d_c}{2} + |\tau|, & \text{если } J_c \text{ находится в тоннеле } \tau. \end{cases}$$

Лемма

Пусть S_A — расписание, построенное алгоритмом A . Тогда

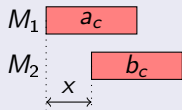
$$R_{\max}(S_A) \leq \frac{3}{2} T_{RPP}^* + l_{\max} + \begin{cases} 0, & \text{если конфликта не было,} \\ \frac{d_c}{2}, & \text{если } J_c \text{ находится в вершине } v, \\ \frac{d_c}{2} + |\tau|, & \text{если } J_c \text{ находится в тоннеле } \tau. \end{cases}$$

Доказательство

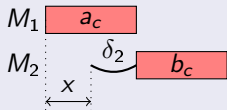
Случай 1: конфликта не было. Тогда машины работают без простоев и $R_{\max} = l_{\max} + w(\sigma) \leq l_{\max} + \frac{3}{2} T_{RPP}^*$.

Доказательство

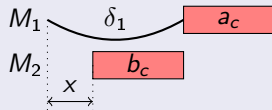
Случай 2. Конфликтная работа в вершине v .



Фрагмент расписания S



Фрагмент расписания S_1



Фрагмент расписания S_2

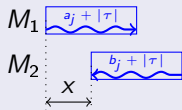
$$R_{\max}(S_1) \leq l_2 + \frac{3}{2} T_{RPP}^* + \delta_2 = l_2 + \frac{3}{2} T_{RPP}^* + a_c - x,$$

$$R_{\max}(S_2) \leq l_1 + \frac{3}{2} T_{RPP}^* + \delta_1 = l_1 + \frac{3}{2} T_{RPP}^* + b_c + x,$$

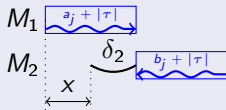
$$\min\{R_{\max}(S_1), R_{\max}(S_2)\} \leq \frac{1}{2}(R_{\max}(S_1) + R_{\max}(S_2)) \leq l_{\max} + \frac{3}{2} T_{RPP}^* + \frac{d_c}{2}.$$

Доказательство

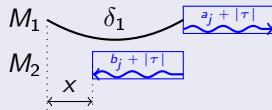
Случай 3. Конфликтная работа в тоннеле τ .



Фрагмент расписания S



Фрагмент расписания S_1



Фрагмент расписания S_2

$$R_{\max}(S_1) \leq \ell_2 + \frac{3}{2} T_{RPP}^* + \delta_2 = \ell_2 + \frac{3}{2} T_{RPP}^* + a_c + |\tau| - x,$$

$$R_{\max}(S_2) \leq \ell_1 + \frac{3}{2} T_{RPP}^* + \delta_1 = \ell_1 + \frac{3}{2} T_{RPP}^* + b_c + |\tau| + x,$$

$$\min\{R_{\max}(S_1), R_{\max}(S_2)\} \leq \ell_{\max} + \frac{3}{2} T_{RPP}^* + \frac{d_c}{2} + |\tau|.$$

$$\bar{R} = \max \left\{ \ell_{\max} + T_{RPP}^*, \max_{v \in V} (d_{\max}(v) + 2 \text{dist}(v_0, v)), \max_{\tau \in \mathcal{T}} (d_{j(\tau)} + 2|\tau| + 2 \text{dist}(v_0, \tau)) \right\}.$$

$$R_{\max}(S_A) \leq \frac{3}{2} T_{RPP}^* + \ell_{\max} + \begin{cases} 0, & \text{если конфликта не было,} \\ \frac{d_c}{2}, & \text{если } J_c \text{ находится в вершине } v, \\ \frac{d_c}{2} + |\tau|, & \text{если } J_c \text{ находится в тоннеле } \tau. \end{cases}$$

$$\bar{\bar{R}} = \max \left\{ \ell_{\max} + T_{RPP}^*, \max_{v \in V} (d_{\max}(v) + 2 \text{dist}(v_0, v)), \right. \\ \left. \max_{\tau \in \mathcal{T}} (d_{j(\tau)} + 2|\tau| + 2 \text{dist}(v_0, \tau)) \right\}.$$

$$R_{\max}(S_A) \leq \frac{3}{2} T_{RPP}^* + \ell_{\max} + \begin{cases} 0, & \text{если конфликта не было,} \\ \frac{d_c}{2}, & \text{если } J_c \text{ находится в вершине } v, \\ \frac{d_c}{2} + |\tau|, & \text{если } J_c \text{ находится в тоннеле } \tau. \end{cases}$$

Случай 1. $R_{\max}(S_A) \leq \frac{3}{2} T_{RPP}^* + \ell_{\max}$.

$$R_{\max}(S_A) \leq \frac{3}{2} T_{RPP}^* + \ell_{\max} \leq \frac{3}{2} (T_{RPP}^* + \ell_{\max}) \leq \frac{3}{2} \bar{\bar{R}} \leq 2\bar{\bar{R}}.$$

$$\bar{\bar{R}} = \max \left\{ \ell_{\max} + T_{RPP}^*, \max_{v \in V} (d_{\max}(v) + 2 \text{dist}(v_0, v)), \right. \\ \left. \max_{\tau \in \mathcal{T}} (d_{j(\tau)} + 2|\tau| + 2 \text{dist}(v_0, \tau)) \right\}.$$

$$R_{\max}(S_A) \leq \frac{3}{2} T_{RPP}^* + \ell_{\max} + \begin{cases} 0, & \text{если конфликта не было,} \\ \frac{d_c}{2}, & \text{если } J_c \text{ находится в вершине } v, \\ \frac{d_c}{2} + |\tau|, & \text{если } J_c \text{ находится в тоннеле } \tau. \end{cases}$$

Случай 2. $R_{\max}(S_A) \leq \frac{3}{2} T_{RPP}^* + \ell_{\max} + d_c/2.$

$$R_{\max}(S_A) \leq \frac{3}{2} T_{RPP}^* + \ell_{\max} + \frac{2\ell_{\max}}{2} = \frac{3}{2} T_{RPP}^* + 2\ell_{\max} \leq 2\bar{\bar{R}}.$$

$$\bar{R} = \max \left\{ \ell_{\max} + T_{RPP}^*, \max_{v \in V} (d_{\max}(v) + 2 \text{dist}(v_0, v)), \right. \\ \left. \max_{\tau \in \mathcal{T}} (d_{j(\tau)} + 2|\tau| + 2 \text{dist}(v_0, \tau)) \right\}.$$

$$R_{\max}(S_A) \leq \frac{3}{2} T_{RPP}^* + \ell_{\max} + \begin{cases} 0, & \text{если конфликта не было,} \\ \frac{d_c}{2}, & \text{если } J_c \text{ находится в вершине } v, \\ \frac{d_c}{2} + |\tau|, & \text{если } J_c \text{ находится в тоннеле } \tau. \end{cases}$$

Случай 3. $R_{\max}(S_A) \leq \frac{3}{2} T_{RPP}^* + \ell_{\max} + d_c/2 + |\tau|.$

$$R_{\max}(S_A) \leq \frac{3}{2} T_{RPP}^* + \ell_{\max} + \frac{2\ell_{\max}}{2} + \frac{1}{2} T_{RPP}^* \leq 2\bar{R}.$$

Попытка улучшить оценку точности

- Случай 1: $3/2$.
- Случай 2: 2.
- Случай 3: 2.

- Случай 1: $3/2$.
- Случай 2: 2 .
- Случай 3: 2 .

Случай 2:

Случай 2.1. $d_c \leq T_{RPP}^* + l_{\max}$.

$$R_{\max}(S_A) \leq \frac{3}{2} T_{RPP}^* + l_{\max} + \frac{T_{RPP}^* + l_{\max}}{2} = 2 T_{RPP}^* + \frac{3}{2} l_{\max}$$

$$R_{\max}(S_A) \leq \frac{3}{2} T_{RPP}^* + l_{\max} + \frac{2l_{\max}}{2} = \frac{3}{2} T_{RPP}^* + 2l_{\max}$$

Случай 2.2. $d_c > T_{RPP}^* + l_{\max} \geq T_{RPP}^* + \frac{1}{2} d_c$, следовательно $\frac{1}{2} d_c \geq T_{RPP}^*$:

$$R_{\max}(S_A) \leq (T_{RPP}^* + l_{\max}) + \frac{1}{2} T_{RPP}^* + \frac{d_c}{2} \leq d_c + \frac{3}{4} d_c \leq \frac{7}{4} \bar{R}.$$

- Случай 1: $3/2$.
- Случай 2: $7/4$.
- Случай 3: 2 .

Случай 2:

Случай 2.1. $d_c \leq T_{RPP}^* + l_{\max}$.

$$R_{\max}(S_A) \leq \frac{3}{2} T_{RPP}^* + l_{\max} + \frac{T_{RPP}^* + l_{\max}}{2} = 2T_{RPP}^* + \frac{3}{2} l_{\max}$$

$$R_{\max}(S_A) \leq \frac{3}{2} T_{RPP}^* + l_{\max} + \frac{2l_{\max}}{2} = \frac{3}{2} T_{RPP}^* + 2l_{\max}$$

Случай 2.2. $d_c > T_{RPP}^* + l_{\max} \geq T_{RPP}^* + \frac{1}{2} d_c$, следовательно $\frac{1}{2} d_c \geq T_{RPP}^*$:

$$R_{\max}(S_A) \leq (T_{RPP}^* + l_{\max}) + \frac{1}{2} T_{RPP}^* + \frac{d_c}{2} \leq d_c + \frac{3}{4} d_c \leq \frac{7}{4} \bar{R}.$$

$$\text{Случай 2: } R_{\max}(S_A) \leq \frac{3}{2} T_{RPP}^* + l_{\max} + d_c/2$$
$$\overline{\overline{R}} \geq \max \{l_{\max} + T_{RPP}^*, d_c\}$$

$$\text{Случай 2: } R_{\max}(S_A) \leq \frac{3}{2} T_{RPP}^* + l_{\max} + d_c/2$$
$$\overline{\overline{R}} \geq \max \{l_{\max} + T_{RPP}^*, d_c\}$$

Обозначения

$$T = T_{RPP}^*$$

$$L = l_{\max}$$

$$c_1 = d_c$$

$$LB = \overline{\overline{R}}$$

Lifhack: нахождение оценки точности алгоритма

$$\text{Случай 2: } R_{\max}(S_A) \leq \frac{3}{2} T_{RPP}^* + \ell_{\max} + d_c/2$$
$$\overline{\overline{R}} \geq \max \{ \ell_{\max} + T_{RPP}^*, d_c \}$$

Обозначения

$$T = T_{RPP}^*$$

$$L = \ell_{\max}$$

$$c_1 = d_c$$

$$LB = \overline{\overline{R}}$$

Нижние оценки и дополнительные неравенства

$$LB \geq T + L$$

$$LB \geq c_1$$

$$c_1 \leq 2L$$

Lifhack: нахождение оценки точности алгоритма

$$\text{Случай 2: } R_{\max}(S_A) \leq \frac{3}{2} T_{RPP}^* + l_{\max} + d_c/2$$
$$\bar{\bar{R}} \geq \max \{l_{\max} + T_{RPP}^*, d_c\}$$

Обозначения

$$T = T_{RPP}^*$$
$$L = l_{\max}$$
$$c_1 = d_c$$
$$LB = \bar{\bar{R}}$$

Нижние оценки и дополнительные неравенства

$$LB \geq T + L$$
$$LB \geq c_1$$
$$c_1 \leq 2L$$

ЗЛП

$$\rho \rightarrow \max$$

$$\begin{cases} T + L & \leq 1, \\ c_1 & \leq 1, \\ c_1 & \leq 2L, \\ \frac{3}{2}T + L + \frac{c_1}{2} & \geq \rho, \\ T, L, c_1, \rho & \geq 0 \end{cases}$$

Lifhack: нахождение оценки точности алгоритма

$$\text{Случай 2: } R_{\max}(S_A) \leq \frac{3}{2} T_{RPP}^* + l_{\max} + d_c/2$$
$$\bar{R} \geq \max \{l_{\max} + T_{RPP}^*, d_c\}$$

Обозначения

$$T = T_{RPP}^*$$
$$L = l_{\max}$$
$$c_1 = d_c$$
$$LB = \bar{R}$$

Нижние оценки и дополнительные неравенства

$$LB \geq T + L$$
$$LB \geq c_1$$
$$c_1 \leq 2L$$

ЗЛП

$$\rho \rightarrow \max$$

$$\begin{cases} T + L & \leq 1, \\ c_1 & \leq 1, \\ c_1 & \leq 2L, \\ \frac{3}{2}T + L + \frac{c_1}{2} & \geq \rho, \\ T, L, c_1, \rho & \geq 0 \end{cases}$$

Оптимальное решение

$$L = \frac{1}{2}, T = \frac{1}{2}, c_1 = 1, \rho = \frac{7}{4}.$$

Lifehack: нахождение оценки точности алгоритма

$$\text{Случай 3: } R_{\max}(S_A) \leq \frac{3}{2} T_{RPP}^* + l_{\max} + d_c/2 + |\tau|$$
$$\overline{R} \geq \max \{l_{\max} + T_{RPP}^*, d_c + 2|\tau|\}$$

Обозначения

$$T = T_{RPP}^*$$
$$L = l_{\max}$$
$$c_1 = d_c$$
$$t_1 = |\tau|$$
$$LB = \overline{R}$$

Нижние оценки и дополнительные неравенства

$$LB \geq T + L$$
$$LB \geq c_1 + 2t_1$$
$$c_1 \leq 2L$$
$$2t_1 \leq T$$

ЗЛП

$$\rho \rightarrow \max$$

$$\begin{cases} T + L & \leq 1, \\ c_1 + 2t_1 & \leq 1, \\ c_1 & \leq 2L, \\ 2t_1 & \leq T, \\ \frac{3}{2}T + L + \frac{c_1}{2} + t_1 & \geq \rho, \\ T, L, c_1, \rho & \geq 0 \end{cases}$$

Оптимальное решение

$$L = 0, T = 1, c_1 = 0, t_1 = 1/2, \rho = 2.$$

Теорема 2

Для задачи $\overline{RO2}||R_{\max}$ существует $23/12$ -приближённый алгоритм.

Доказательство

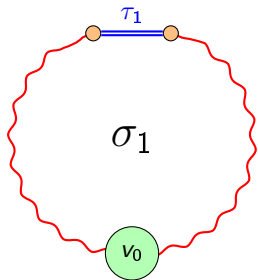
Шаг 1: Построим расписание S_A алгоритмом из Теоремы 1.
Предполагаем, что конфликтная работа J_{c_1} находится в тоннеле τ_1

$$R_{\max}(S_A) \leq \frac{3}{2} T_{RPP}^* + \ell_{\max} + \frac{d_{c_1}}{2} + |\tau_1|$$

(случай 3, иначе оценка не хуже $\frac{7}{4}$).

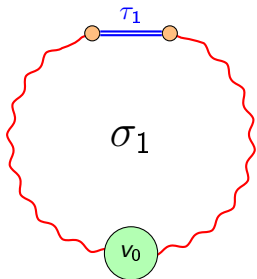
Идея построения второго расписания

Алгоритм в Теореме 1 опирался на приближенное решение σ_1 задачи RPP , построенное алгоритмом Фредериксона:

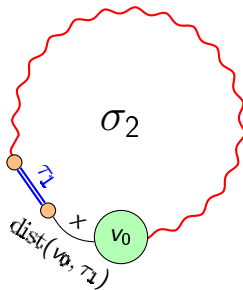


Идея построения второго расписания

Алгоритм в Теореме 1 опирался на приближенное решение σ_1 задачи RPP , построенное алгоритмом Фредериксона:



Хочется построить обход σ_2 , который содержит “ребро”, соответствующее расстоянию от v_0 до τ_1 :



Алгоритм Фредериксона

- 1 Рассмотрим вспомогательный полный граф G' на компонентах связности в графе $G(N)$.
- 2 Найти в G' остовное дерево T' минимального веса. Построить граф $G'' = T' \cup N$.
- 3 Пусть O — множество вершин нечётной степени в G'' . Построим на них паросочетание минимального веса M .
- 4 Искомый маршрут — эйлеров обход графа $G'' \cup M$.

Модификация алгоритм Фредериксона

- 1 Рассмотрим вспомогательный полный граф G' на компонентах связности в графе $G(N)$.
- 2 Найти в G' остовное дерево T' минимального веса. Построить граф $G'' = T' \cup N \cup \{x\}$.
- 3 Пусть O — множество вершин нечётной степени в G'' . Построим на них паросочетание минимального веса M .
- 4 Искомый маршрут — эйлеров обход графа $G'' \cup M$.

Модификация алгоритм Фредериксона

- 1 Рассмотрим вспомогательный полный граф G' на компонентах связности в графе $G(N)$.
- 2 Найти в G' остовное дерево T' минимального веса. Построить граф $G'' = T' \cup N \cup \{x\}$.
- 3 Пусть O — множество вершин нечётной степени в G'' . Построим на них паросочетание минимального веса M .
- 4 Искомый маршрут — эйлеров обход графа $G'' \cup M$.

Утверждение

$$w(\sigma_2) \leq \frac{3}{2}w^* + w(x).$$

Шаг 2: Построить расписание S_B аналогично алгоритму A из Теоремы 1, только используя обход σ_2 вместо σ_1 .

Лемма

Пусть S_B — расписание, построенное на Шаге 2. Тогда

$$R_{\max}(S_B) \leq \frac{3}{2} T_{RPP}^* + \ell_{\max} + \text{dist}(v_0, \tau_1) + \begin{cases} 0, & \text{если конфликта не было} \\ & \text{или конфликт в } \tau_1, \\ d_{c_2}/2, & \text{если } J_{c_2} \text{ находится в вершине } v, \\ d_{c_2}/2 + |\tau_2|, & \text{если } J_{c_2} \text{ находится в тоннеле } \tau_2 \neq \tau_1. \end{cases}$$

Продолжение доказательства Теоремы 2

$$R_{\max}(S_A) = \frac{3}{2} T_{RPP}^* + \ell_{\max} + d_{c_1}/2 + |\tau_1|,$$

Случай 1: $R_{\max}(S_B) = \frac{3}{2} T_{RPP}^* + \ell_{\max} + \text{dist}(v_0, \tau_1).$

Обозначения

$$T = T_{RPP}^*$$

$$L = \ell_{\max}$$

$$c_1 = d_{c_1}$$

$$t_1 = |\tau_1|$$

$$x = \text{dist}(v_0, \tau_1)$$

$$LB = \overline{\overline{R}}$$

Нижние оценки и дополнительные неравенства

$$LB \geq T + L$$

$$LB \geq c_1 + 2t_1 + 2x$$

$$c_1 \leq 2L$$

$$2x + t_1 \leq T$$

Продолжение доказательства Теоремы 2

$$R_{\max}(S_A) = \frac{3}{2} T_{RPP}^* + \ell_{\max} + d_{c_1}/2 + |\tau_1|,$$

$$\text{Случай 1: } R_{\max}(S_B) = \frac{3}{2} T_{RPP}^* + \ell_{\max} + \text{dist}(v_0, \tau_1).$$

Обозначения

$$T = T_{RPP}^*$$

$$L = \ell_{\max}$$

$$c_1 = d_{c_1}$$

$$t_1 = |\tau_1|$$

$$x = \text{dist}(v_0, \tau_1)$$

$$LB = \overline{\overline{R}}$$

Нижние оценки и дополнительные неравенства

$$LB \geq T + L$$

$$LB \geq c_1 + 2t_1 + 2x$$

$$c_1 \leq 2L$$

$$2x + t_1 \leq T$$

ЗЛП

$$\rho \rightarrow \max$$

$$\begin{cases} T + L & \leq 1, \\ c_1 + 2t_1 + 2x & \leq 1, \\ c_1 & \leq 2L, \\ 2x + t_1 & \leq T, \\ \frac{3}{2}T + L + \frac{c_1}{2} + t_1 & \geq \rho, \\ \frac{3}{2}T + L + x & \geq \rho, \\ T, L, c_1, t_1, x, \rho & \geq 0 \end{cases}$$

Продолжение доказательства Теоремы 2

$$R_{\max}(S_A) = \frac{3}{2} T_{RPP}^* + \ell_{\max} + d_{c_1}/2 + |\tau_1|,$$

$$\text{Случай 1: } R_{\max}(S_B) = \frac{3}{2} T_{RPP}^* + \ell_{\max} + \text{dist}(v_0, \tau_1).$$

Обозначения

$$T = T_{RPP}^*$$

$$L = \ell_{\max}$$

$$c_1 = d_{c_1}$$

$$t_1 = |\tau_1|$$

$$x = \text{dist}(v_0, \tau_1)$$

$$LB = \overline{\overline{R}}$$

Нижние оценки и дополнительные неравенства

$$LB \geq T + L$$

$$LB \geq c_1 + 2t_1 + 2x$$

$$c_1 \leq 2L$$

$$2x + t_1 \leq T$$

$$\rho^* = \frac{7}{4}$$

ЗЛП

$$\rho \rightarrow \max$$

$$\begin{cases} T + L & \leq 1, \\ c_1 + 2t_1 + 2x & \leq 1, \\ c_1 & \leq 2L, \\ 2x + t_1 & \leq T, \\ \frac{3}{2}T + L + \frac{c_1}{2} + t_1 & \geq \rho, \\ \frac{3}{2}T + L + x & \geq \rho, \\ T, L, c_1, t_1, x, \rho & \geq 0 \end{cases}$$

Продолжение доказательства Теоремы 2

$$R_{\max}(S_A) = \frac{3}{2} T_{RPP}^* + \ell_{\max} + d_{c_1}/2 + |\tau_1|,$$

$$\text{Случай 2: } R_{\max}(S_B) = \frac{3}{2} T_{RPP}^* + \ell_{\max} + \text{dist}(v_0, \tau_1) + \frac{d_{c_2}}{2}.$$

Обозначения

$$T = T_{RPP}^*$$

$$L = \ell_{\max}$$

$$c_1 = d_{c_1}$$

$$c_2 = d_{c_2}$$

$$t_1 = |\tau_1|$$

$$x = \text{dist}(v_0, \tau_1)$$

$$LB = \overline{\overline{R}}$$

Нижние оценки и дополнительные неравенства

$$LB \geq T + L$$

$$LB \geq c_1 + 2t_1 + 2x$$

$$LB \geq c_2$$

$$c_1 + c_2 \leq 2L$$

$$2x + t_1 \leq T$$

Продолжение доказательства Теоремы 2

$$R_{\max}(S_A) = \frac{3}{2} T_{RPP}^* + \ell_{\max} + d_{c_1}/2 + |\tau_1|,$$

$$\text{Случай 2: } R_{\max}(S_B) = \frac{3}{2} T_{RPP}^* + \ell_{\max} + \text{dist}(v_0, \tau_1) + \frac{d_{c_2}}{2}.$$

Обозначения

$$T = T_{RPP}^*$$

$$L = \ell_{\max}$$

$$c_1 = d_{c_1}$$

$$c_2 = d_{c_2}$$

$$t_1 = |\tau_1|$$

$$x = \text{dist}(v_0, \tau_1)$$

$$LB = \overline{\overline{R}}$$

Нижние оценки и дополнительные неравенства

$$LB \geq T + L$$

$$LB \geq c_1 + 2t_1 + 2x$$

$$LB \geq c_2$$

$$c_1 + c_2 \leq 2L$$

$$2x + t_1 \leq T$$

ЗЛП

$\rho \rightarrow \max$

$$\begin{cases} T + L & \leq 1, \\ c_1 + 2t_1 + 2x & \leq 1, \\ c_2 & \leq 1, \\ c_1 + c_2 & \leq 2L, \\ 2x + t_1 & \leq T, \\ \frac{3}{2}T + L + \frac{c_1}{2} + t_1 & \geq \rho, \\ \frac{3}{2}T + L + x + \frac{c_2}{2} & \geq \rho, \\ T, L, c_1, c_2, t_1, x, \rho & \geq 0 \end{cases}$$

Продолжение доказательства Теоремы 2

$$R_{\max}(S_A) = \frac{3}{2} T_{RPP}^* + \ell_{\max} + d_{c_1}/2 + |\tau_1|,$$

$$\text{Случай 2: } R_{\max}(S_B) = \frac{3}{2} T_{RPP}^* + \ell_{\max} + \text{dist}(v_0, \tau_1) + \frac{d_{c_2}}{2}.$$

Обозначения

$$T = T_{RPP}^*$$

$$L = \ell_{\max}$$

$$c_1 = d_{c_1}$$

$$c_2 = d_{c_2}$$

$$t_1 = |\tau_1|$$

$$x = \text{dist}(v_0, \tau_1)$$

$$LB = \overline{\overline{R}}$$

Нижние оценки и дополнительные неравенства

$$LB \geq T + L$$

$$LB \geq c_1 + 2t_1 + 2x$$

$$LB \geq c_2$$

$$c_1 + c_2 \leq 2L$$

$$2x + t_1 \leq T$$

$$\rho^* = \frac{7}{4}$$

ЗЛП

$$\rho \rightarrow \max$$

$$\left\{ \begin{array}{l} T + L \leq 1, \\ c_1 + 2t_1 + 2x \leq 1, \\ c_2 \leq 1, \\ c_1 + c_2 \leq 2L, \\ 2x + t_1 \leq T, \\ \frac{3}{2}T + L + \frac{c_1}{2} + t_1 \geq \rho, \\ \frac{3}{2}T + L + x + \frac{c_2}{2} \geq \rho, \\ T, L, c_1, c_2, t_1, x, \rho \geq 0 \end{array} \right.$$

Продолжение доказательства Теоремы 2

$$R_{\max}(S_A) = \frac{3}{2} T_{RPP}^* + \ell_{\max} + d_{c_1}/2 + |\tau_1|,$$

Случай 3: $R_{\max}(S_B) = \frac{3}{2} T_{RPP}^* + \ell_{\max} + \text{dist}(v_0, \tau_1) + \frac{d_{c_2}}{2} + |\tau_2|.$

Обозначения

$$T = T_{RPP}^*$$

$$L = \ell_{\max}$$

$$c_1 = d_{c_1}$$

$$c_2 = d_{c_2}$$

$$t_1 = |\tau_1|$$

$$t_2 = |\tau_2|$$

$$x = \text{dist}(v_0, \tau_1)$$

$$LB = \overline{\overline{R}}$$

Нижние оценки и дополнительные неравенства

$$LB \geq T + L$$

$$LB \geq c_1 + 2t_1 + 2x$$

$$LB \geq c_2 + 2t_2$$

$$c_1 + c_2 \leq 2L$$

$$2x + t_1 \leq T$$

$$x + t_1 + t_2 \leq T$$

Продолжение доказательства Теоремы 2

$$R_{\max}(S_A) = \frac{3}{2} T_{RPP}^* + \ell_{\max} + d_{c_1}/2 + |\tau_1|,$$

$$\text{Случай 3: } R_{\max}(S_B) = \frac{3}{2} T_{RPP}^* + \ell_{\max} + \text{dist}(v_0, \tau_1) + \frac{d_{c_2}}{2} + |\tau_2|.$$

Обозначения

$$T = T_{RPP}^*$$

$$L = \ell_{\max}$$

$$c_1 = d_{c_1}$$

$$c_2 = d_{c_2}$$

$$t_1 = |\tau_1|$$

$$t_2 = |\tau_2|$$

$$x = \text{dist}(v_0, \tau_1)$$

$$LB = \overline{\overline{R}}$$

Нижние оценки и дополнительные неравенства

$$LB \geq T + L$$

$$LB \geq c_1 + 2t_1 + 2x$$

$$LB \geq c_2 + 2t_2$$

$$c_1 + c_2 \leq 2L$$

$$2x + t_1 \leq T$$

$$x + t_1 + t_2 \leq T$$

ЗЛП

$$\rho \rightarrow \max$$

$$\left\{ \begin{array}{l} T + L \leq 1, \\ c_1 + 2t_1 + 2x \leq 1, \\ c_2 + 2t_2 \leq 1, \\ c_1 + c_2 \leq 2L, \\ 2x + t_1 \leq T, \\ x + t_1 + t_2 \leq T, \\ \frac{3}{2}T + L + \frac{c_1}{2} + t_1 \geq \rho, \\ \frac{3}{2}T + L + x + \frac{c_2}{2} + t_2 \geq \rho, \\ T, L, c_1, c_2, t_1, t_2, x, \rho \geq 0 \end{array} \right.$$

Продолжение доказательства Теоремы 2

$$R_{\max}(S_A) = \frac{3}{2} T_{RPP}^* + \ell_{\max} + d_{c_1}/2 + |\tau_1|,$$

Случай 3: $R_{\max}(S_B) = \frac{3}{2} T_{RPP}^* + \ell_{\max} + \text{dist}(v_0, \tau_1) + \frac{d_{c_2}}{2} + |\tau_2|.$

Обозначения

$$T = T_{RPP}^*$$

$$L = \ell_{\max}$$

$$c_1 = d_{c_1}$$

$$c_2 = d_{c_2}$$

$$t_1 = |\tau_1|$$

$$t_2 = |\tau_2|$$

$$x = \text{dist}(v_0, \tau_1)$$

$$LB = \overline{\overline{R}}$$

Нижние оценки и дополнительные неравенства

$$LB \geq T + L$$

$$LB \geq c_1 + 2t_1 + 2x$$

$$LB \geq c_2 + 2t_2$$

$$c_1 + c_2 \leq 2L$$

$$2x + t_1 \leq T$$

$$x + t_1 + t_2 \leq T$$

$$\rho^* = 2$$

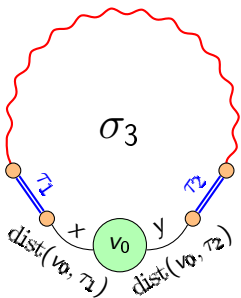
ЗЛП

$$\rho \rightarrow \max$$

$$\left\{ \begin{array}{l} T + L \leq 1, \\ c_1 + 2t_1 + 2x \leq 1, \\ c_2 + 2t_2 \leq 1, \\ c_1 + c_2 \leq 2L, \\ 2x + t_1 \leq T, \\ x + t_1 + t_2 \leq T, \\ \frac{3}{2}T + L + \frac{c_1}{2} + t_1 \geq \rho, \\ \frac{3}{2}T + L + x + \frac{c_2}{2} + t_2 \geq \rho, \\ T, L, c_1, c_2, t_1, t_2, x, \rho \geq 0 \end{array} \right.$$

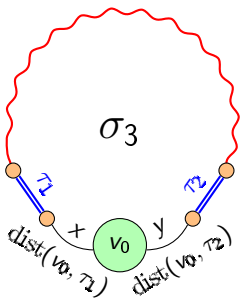
Идея построения третьего расписания

Хочется построить обход σ_3 , который содержит “ребра”, соответствующие расстояниям от v_0 до τ_1 и от v_0 до τ_2 :



Идея построения третьего расписания

Хочется построить обход σ_3 , который содержит “ребра”, соответствующие расстояниям от v_0 до τ_1 и от v_0 до τ_2 :



Утверждение

$$w(\sigma_3) \leq \frac{3}{2} w^* + w(x) + w(y).$$

Шаг 3: Построить расписание S_C аналогично алгоритму A из Теоремы 1, только используя обход σ_3 вместо σ_1 .

Лемма

Пусть S_C — расписание, построенное на Шаге 2. Тогда

$$R_{\max}(S_C) \leq \frac{3}{2} T_{RPP}^* + \ell_{\max} + \text{dist}(v_0, \tau_1) + \text{dist}(v_0, \tau_2) +$$
$$+ \begin{cases} 0, & \text{если конфликта не было} \\ & \text{или конфликт в } \tau_1 \text{ или в } \tau_2, \\ d_{C_3}/2, & \text{если } J_{C_3} \text{ находится в вершине } v, \\ d_{C_3}/2 + |\tau_3|, & \text{если } J_{C_3} \text{ находится в тоннеле } \tau_3. \end{cases}$$

Продолжение доказательства Теоремы 2

$$R_{\max}(S_A) = \frac{3}{2} T_{RPP}^* + \ell_{\max} + d_{c_1}/2 + |\tau_1|,$$

$$R_{\max}(S_B) = \frac{3}{2} T_{RPP}^* + \ell_{\max} + \text{dist}(v_0, \tau_1) + \frac{d_{c_2}}{2} + |\tau_2|,$$

Случай 1: $R_{\max}(S_C) = \frac{3}{2} T_{RPP}^* + \ell_{\max} + \text{dist}(v_0, \tau_1) + \text{dist}(v_0, \tau_2).$

$$\bar{R} \geq \max\{T_{RPP}^* + \ell_{\max}, d_{c_1} + 2\text{dist}(v_0, \tau_1) + 2|\tau_1|, d_{c_2} + 2\text{dist}(v_0, \tau_2) + 2|\tau_2|\}.$$

При этом

$$\text{dist}(v_0, \tau_1) + |\tau_1| + |\tau_2| + \text{dist}(v_0, \tau_2) \leq T_{RPP}^*,$$

$$d_{c_1} + d_{c_2} \leq 2\ell_{\max}.$$

Продолжение доказательства Теоремы 2

$$R_{\max}(S_A) = \frac{3}{2} T_{RPP}^* + \ell_{\max} + d_{c_1}/2 + |\tau_1|,$$

$$R_{\max}(S_B) = \frac{3}{2} T_{RPP}^* + \ell_{\max} + \text{dist}(v_0, \tau_1) + \frac{d_{c_2}}{2} + |\tau_2|,$$

Случай 1: $R_{\max}(S_C) = \frac{3}{2} T_{RPP}^* + \ell_{\max} + \text{dist}(v_0, \tau_1) + \text{dist}(v_0, \tau_2).$

$$\bar{R} \geq \max\{T_{RPP}^* + \ell_{\max}, d_{c_1} + 2\text{dist}(v_0, \tau_1) + 2|\tau_1|, d_{c_2} + 2\text{dist}(v_0, \tau_2) + 2|\tau_2|\}.$$

При этом

$$\text{dist}(v_0, \tau_1) + |\tau_1| + |\tau_2| + \text{dist}(v_0, \tau_2) \leq T_{RPP}^*,$$

$$d_{c_1} + d_{c_2} \leq 2\ell_{\max}.$$

При решении соответствующей ЗЛП получаем $\rho^* = \frac{15}{8}$.

Продолжение доказательства Теоремы 2

$$R_{\max}(S_A) = \frac{3}{2} T_{RPP}^* + \ell_{\max} + d_{c_1}/2 + |\tau_1|,$$

$$R_{\max}(S_B) = \frac{3}{2} T_{RPP}^* + \ell_{\max} + \text{dist}(v_0, \tau_1) + \frac{d_{c_2}}{2} + |\tau_2|,$$

Случай 2: $R_{\max}(S_C) = \frac{3}{2} T_{RPP}^* + \ell_{\max} + \text{dist}(v_0, \tau_1) + \text{dist}(v_0, \tau_2) + \frac{d_{c_3}}{2}.$

$$\bar{R} \geq \max\{T_{RPP}^* + \ell_{\max}, d_{c_1} + 2\text{dist}(v_0, \tau_1) + 2|\tau_1|, d_{c_2} + 2\text{dist}(v_0, \tau_2) + 2|\tau_2|\}.$$

При этом

$$\text{dist}(v_0, \tau_1) + |\tau_1| + |\tau_2| + \text{dist}(v_0, \tau_2) \leq T_{RPP}^*,$$

$$d_{c_1} + d_{c_2} + d_{c_3} \leq 2\ell_{\max}.$$

Продолжение доказательства Теоремы 2

$$R_{\max}(S_A) = \frac{3}{2} T_{RPP}^* + \ell_{\max} + d_{c_1}/2 + |\tau_1|,$$

$$R_{\max}(S_B) = \frac{3}{2} T_{RPP}^* + \ell_{\max} + \text{dist}(v_0, \tau_1) + \frac{d_{c_2}}{2} + |\tau_2|,$$

Случай 2: $R_{\max}(S_C) = \frac{3}{2} T_{RPP}^* + \ell_{\max} + \text{dist}(v_0, \tau_1) + \text{dist}(v_0, \tau_2) + \frac{d_{c_3}}{2}.$

$$\bar{R} \geq \max\{T_{RPP}^* + \ell_{\max}, d_{c_1} + 2\text{dist}(v_0, \tau_1) + 2|\tau_1|, d_{c_2} + 2\text{dist}(v_0, \tau_2) + 2|\tau_2|\}.$$

При этом

$$\text{dist}(v_0, \tau_1) + |\tau_1| + |\tau_2| + \text{dist}(v_0, \tau_2) \leq T_{RPP}^*,$$

$$d_{c_1} + d_{c_2} + d_{c_3} \leq 2\ell_{\max}.$$

При решении соответствующей ЗЛП получаем $\rho^* = \frac{15}{8}.$

Продолжение доказательства Теоремы 2

$$R_{\max}(S_A) = \frac{3}{2} T_{RPP}^* + \ell_{\max} + d_{c_1}/2 + |\tau_1|,$$

$$R_{\max}(S_B) = \frac{3}{2} T_{RPP}^* + \ell_{\max} + \text{dist}(v_0, \tau_1) + \frac{d_{c_2}}{2} + |\tau_2|,$$

Случай 3: $R_{\max}(S_C) = \frac{3}{2} T_{RPP}^* + \ell_{\max} + \text{dist}(v_0, \tau_1) + \text{dist}(v_0, \tau_2) + \frac{d_{c_3}}{2} + |\tau_3|.$

$$\bar{R} \geq \max\{T_{RPP}^* + \ell_{\max}, d_{c_1} + 2\text{dist}(v_0, \tau_1) + 2|\tau_1|, d_{c_2} + 2\text{dist}(v_0, \tau_2) + 2|\tau_2|\}.$$

При этом

$$\text{dist}(v_0, \tau_1) + |\tau_1| + |\tau_2| + \text{dist}(v_0, \tau_2) \leq T_{RPP}^*,$$

$$\min\{\text{dist}(v_0, \tau_1), \text{dist}(v_0, \tau_2)\} + |\tau_1| + |\tau_2| + |\tau_3| \leq T_{RPP}^*,$$

$$d_{c_1} + d_{c_2} + d_{c_3} \leq 2\ell_{\max}.$$

Продолжение доказательства Теоремы 2

$$R_{\max}(S_A) = \frac{3}{2} T_{RPP}^* + \ell_{\max} + d_{c_1}/2 + |\tau_1|,$$

$$R_{\max}(S_B) = \frac{3}{2} T_{RPP}^* + \ell_{\max} + \text{dist}(v_0, \tau_1) + \frac{d_{c_2}}{2} + |\tau_2|,$$

$$\text{Случай 3: } R_{\max}(S_C) = \frac{3}{2} T_{RPP}^* + \ell_{\max} + \text{dist}(v_0, \tau_1) + \text{dist}(v_0, \tau_2) + \frac{d_{c_3}}{2} + |\tau_3|.$$

$$\bar{R} \geq \max\{T_{RPP}^* + \ell_{\max}, d_{c_1} + 2\text{dist}(v_0, \tau_1) + 2|\tau_1|, d_{c_2} + 2\text{dist}(v_0, \tau_2) + 2|\tau_2|\}.$$

При этом

$$\text{dist}(v_0, \tau_1) + |\tau_1| + |\tau_2| + \text{dist}(v_0, \tau_2) \leq T_{RPP}^*,$$

$$\min\{\text{dist}(v_0, \tau_1), \text{dist}(v_0, \tau_2)\} + |\tau_1| + |\tau_2| + |\tau_3| \leq T_{RPP}^*,$$

$$d_{c_1} + d_{c_2} + d_{c_3} \leq 2\ell_{\max}.$$

При решении соответствующей ЗЛП получаем $\rho^* = \frac{23}{12}$.

ЗЛП для последнего случая

$$\rho \rightarrow \max$$

Обозначения

$$T = T_{RPP}^*$$

$$L = \ell_{\max}$$

$$t_{1,2,3} = |\tau_{1,2,3}|$$

$$c_{1,2,3} = d_{c_{1,2,3}}$$

$$x = \text{dist}(v_0, \tau_1)$$

$$y = \text{dist}(v_0, \tau_2)$$

$$\left\{ \begin{array}{l} T + L \leq 1, \\ c_1 + 2t_1 + 2x \leq 1, \\ c_2 + 2t_2 + 2y \leq 1, \\ c_1 + c_2 + c_3 \leq 2L, \\ x + y + t_1 + t_2 \leq T, \\ x \leq y, \\ x + t_1 + t_2 + t_3 \leq T, \\ \frac{3}{2}T + L + \frac{c_1}{2} + t_1 \geq \rho, \\ \frac{3}{2}T + L + x + \frac{c_2}{2} + t_2 \geq \rho, \\ \frac{3}{2}T + L + x + y + \frac{c_3}{2} + t_3 \geq \rho, \\ T, L, c_1, c_2, c_3, t_1, t_2, t_3, x, y \geq 0. \end{array} \right.$$

$$\rho \rightarrow \max$$

Обозначения

$$T = T_{RPP}^*$$

$$L = \ell_{\max}$$

$$t_{1,2,3} = |\tau_{1,2,3}|$$

$$c_{1,2,3} = d_{c_{1,2,3}}$$

$$x = \text{dist}(v_0, \tau_1)$$

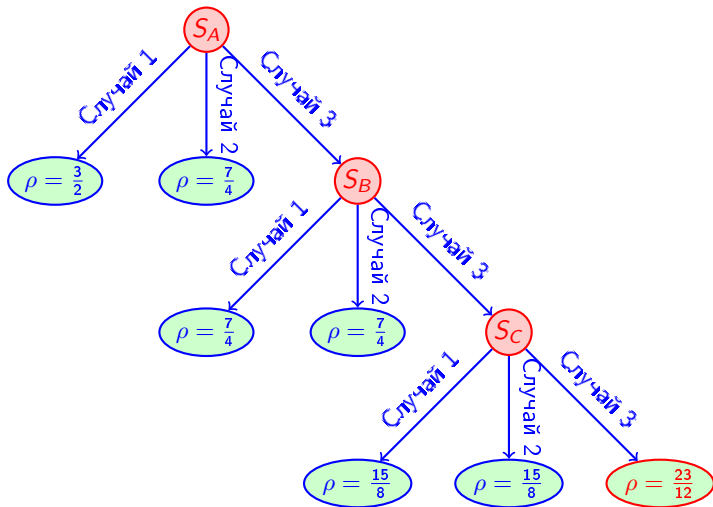
$$y = \text{dist}(v_0, \tau_2)$$

$$\left\{ \begin{array}{l} T + L \leq 1, \\ c_1 + 2t_1 + 2x \leq 1, \\ c_2 + 2t_2 + 2y \leq 1, \\ c_1 + c_2 + c_3 \leq 2L, \\ x + y + t_1 + t_2 \leq T, \\ x \leq y, \\ x + t_1 + t_2 + t_3 \leq T, \\ \frac{3}{2}T + L + \frac{c_1}{2} + t_1 \geq \rho, \\ \frac{3}{2}T + L + x + \frac{c_2}{2} + t_2 \geq \rho, \\ \frac{3}{2}T + L + x + y + \frac{c_3}{2} + t_3 \geq \rho, \\ T, L, c_1, c_2, c_3, t_1, t_2, t_3, x, y \geq 0. \end{array} \right.$$

Оптимальное решение

$$L = c_1 = c_2 = c_3 = 0, T = 1, x = \frac{1}{12}, y = \frac{1}{6}, t_1 = \frac{5}{12}, t_2 = \frac{1}{3}, t_3 = \frac{1}{6}, \rho = \frac{23}{12}.$$

Структура доказательства



Заключительные замечания

- 1 Теорема 1 повторяет идею [Averbakh, Berman, Ch 2006] построения $\frac{7}{4}$ -приближенного алгоритма для $RO2||R_{\max}$.
- 2 Идея построения “испорченного” приближенного обхода принадлежит А.В. Кононову. На ней основан $\frac{13}{8}$ приближенный алгоритм из [Ch, Kononov, Sevastyanov 2013].

Заключительные замечания

- 1 Теорема 1 повторяет идею [Averbakh, Berman, Ch 2006] построения $\frac{7}{4}$ -приближенного алгоритма для $RO2||R_{\max}$.
- 2 Идея построения “испорченного” приближенного обхода принадлежит А.В. Кононову. На ней основан $\frac{13}{8}$ приближенный алгоритм из [Ch, Kononov, Sevastyanov 2013].
- 3 Обоснования оценок с помощью ЗЛП корректны, но трудно воспринимаются. В статье описываются доказательства через цепочки неравенств (как в Теореме 1). Наши ЗЛП **гарантируют**, что такие доказательства существуют.
- 4 Существует еще один lifehack, который позволяет автоматизировать построение доказательств в виде цепочек неравенств.

Заключительные замечания

- 1 Теорема 1 повторяет идею [Averbakh, Verman, Ch 2006] построения $\frac{7}{4}$ -приближенного алгоритма для $RO2 || R_{\max}$.
- 2 Идея построения “испорченного” приближенного обхода принадлежит А.В. Кононову. На ней основан $\frac{13}{8}$ приближенный алгоритм из [Ch, Kononov, Sevastyanov 2013].
- 3 Обоснования оценок с помощью ЗЛП корректны, но трудно воспринимаются. В статье описываются доказательства через цепочки неравенств (как в Теореме 1). Наши ЗЛП **гарантируют**, что такие доказательства существуют.
- 4 Существует еще один lifehack, который позволяет автоматизировать построение доказательств в виде цепочек неравенств.
- 5 В последнем случае доказательства Теоремы 2: если использовать неравенство $\text{dist}(v_0, \tau_1) + \text{dist}(v_0, \tau_2) + |\tau_1| + |\tau_2| + |\tau_3| \leq T_{RPP}^*$, окончательная оценка точности получается $15/8$ (вместо $23/12$). К сожалению, мы не можем гарантировать это неравенство. Вместо него используются два других:

- $\text{dist}(v_0, \tau_1) + \text{dist}(v_0, \tau_2) + |\tau_1| + |\tau_2| \leq T_{RPP}^*$,

- $\min\{\text{dist}(v_0, \tau_1), \text{dist}(v_0, \tau_2)\} + |\tau_1| + |\tau_2| + |\tau_3| \leq T_{RPP}^*$.

- 1 Улучшить оценку точности алгоритма (следующая цель — $\frac{15}{8}$)
- 2 Исследовать обобщенную постановку задачи с индивидуальными временами перемещения
- 3 Исследовать частный случай задачи с соразмерными длительностями операций.

- 1 Улучшить оценку точности алгоритма (следующая цель — $\frac{15}{8}$)
- 2 Исследовать обобщенную постановку задачи с индивидуальными временами перемещения
- 3 Исследовать частный случай задачи с соразмерными длительностями операций.

Спасибо за внимание!